

京都大学工学部 正員 工博 平岡正勝

○高内政彦

都市ごみ、下水汚泥および産業廃棄物などの排出量の激増ぶりには目をみはるものがあり、これら廃棄物の処理法を確立することの重要性・緊急性はいうまでもない。一般に廃棄物を処理法の立場から大別すると、可燃性物質と不燃性物質に分けうると思われる。著者らは本報において前者の可燃物、とくに下水汚泥を取りあげて、その熱的バランスを考察したのでここに報告する。

〔汚泥燃焼炉のモデル化〕 汚泥の焼却を考える場合、どのようなプロセスを採用するにしても、炉に供給される状態は種々の方法で3段階された脱水ケーキであり、水分を60~70 wt% (湿潤基準) 含有しているため、まず乾燥過程が必要で、ついで燃焼過程へと移ることになる。現在のところ下水汚泥を対象とした焼却法はまだ確立されていないため、ここでは古くから行なわれているごみ焼却炉と類似のプロセスで脱水汚泥ケーキを焼却する場合を考えて、Fig. 1に示すようなモデルを立てた。

〔計算方法〕 焼却炉の熱収支を取るにあたり、まず上記モデルをつきの6部分にわけ、(I)乾燥部、(II)炎燃焼部、(III)後燃焼部、(IV)重油助燃、(V)二次燃焼室、(VI)ボイラーや熱交換器に分け、各パートに対する物質収支・熱収支を計算した。本計算においてはつきのよう仮定を行なった。理論燃焼空気量およびガス量は Rosin の式によつたが文献やデータと比較しても多少の差はないと思われる。熱損失は汚泥燃焼熱の k % とし、未燃損失などもこの内に含めた。また焼却処理量は 300 ton/day とした。各パートにおける熱収支式を示すとつきのようになる。

$$(I) E_1 + G_{ahd} \cdot C_{ah} \cdot (t_{ah} - t_0) + Q_{com} \cdot \alpha_1 + \varepsilon \cdot G_{cf} \cdot C_{cf} \cdot (t_{cf} - t_0) = E_2 + G_{cd} \cdot C_{cd} \cdot (t_{cd} - t_0) + Q_{l1}$$

$$(II) E_2 + G_{ahf} \cdot C_{ah} \cdot (t_{ah} - t_0) + Q_{com} \cdot \alpha_2 = E_3 + G_{cf} \cdot C_{cf} \cdot (t_{cf} - t_0) + Q_{l2}$$

$$(III) E_3 + G_{ahc} \cdot C_{ah} \cdot (t_{ah} - t_0) + Q_{com} \cdot \alpha_3 = E_4 + G_{cs} \cdot C_{cs} \cdot (t_{cs} - t_0) + Q_{l3}$$

$$(IV) S \cdot C_s \cdot (t_s - t_0) + G_{ahs} \cdot C_{ah} \cdot (t_{ah} - t_0) + H_{ds} \cdot S = G_{cs} \cdot C_{cs} \cdot (t_{cs} - t_0)$$

$$(V) G_{cd} \cdot C_{cd} \cdot (t_{cd} - t_0) + (1 - \varepsilon) \cdot G_{cf} \cdot C_{cf} \cdot (t_{cf} - t_0) + G_{cs} \cdot C_{cs} \cdot (t_{cs} - t_0) = G_{ct} \cdot C_{ct} \cdot (t_{ct} - t_0)$$

$$(VI) G_{ct} \cdot C_{ct} \cdot (t_{ct} - t_0) + G_a \cdot C_a \cdot (t_a - t_0) + W \cdot C_w \cdot (t_w - t_0) = G_b \cdot C_b \cdot (t_b - t_0) + G_{ah} \cdot C_{ah} \cdot (t_{ah} - t_0) + 667.1 \cdot G_{st}$$

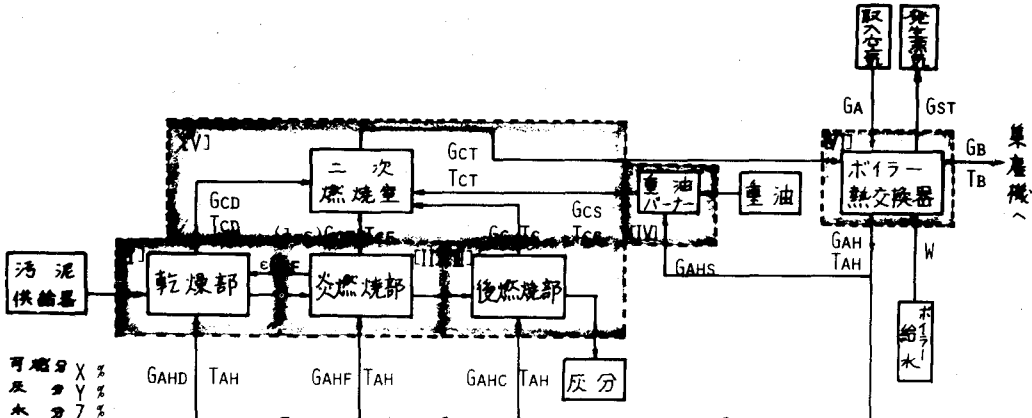


FIG. 1

計算順序はまず炉内温度を $800 \sim 1000^{\circ}\text{C}$ の任意の温度に仮定して、供給汚泥状態、予熱空気温度、乾燥部出口水分量、空気過剰率、炎燃焼ガスの乾燥部への対流割合(ϵ)、乾燥用空気量などをパラメータとして、全体の熱収支式から助燃用重油消費量(SS)を算出し、この値の正負により自燃状態を判別することができる。また $SS < 0$ の場合の冷却用風量は $G_{\text{cool}} = |SS| \times 10630 / (C_p)_a \cdot (t_{\text{ext}} - t_0)$ である、 $(C_p)_a$ は空気の定圧比熱、 t_{ext} は炉温である。

[結果および考察] 計算結果の一例を Figs. 2~5 に示す。Fig. 2 は重油消費量、炉温および冷却用空気量の関係を表したもので、汚泥濃度 44%，予熱空気温度 400°C のものである。濃度 44% という値は最高値に近いものであり、炉内冷却用空気量はあまり問題ないようである。Fig. 3 は乾燥用空気量(V_d)と重油消費量(SS)の関係を示しており、予熱空気温度(T_{ext})が一定であれば V_d が小さいほど有利で、重油消費量も少なくなる。一方で予熱空気温度が高いう方がよく、また空気過剰率(m)が小さいほどよいことが分る。Fig. 5 は汚泥焼却炉における自然限界が濃度 $40 \sim 44\%$ 程度のところに存在することを示しており、このときの低位発熱量(H_u)は $840 \sim 1052 \text{ kcal/kg-sludge}$ であるが、種々の操作条件、たとえば V_d 、 m 、 T_{ext} 、 T_{AH} などによって大変に変化するためいちじるしくは断定できない。

この計算に用いた値は、二二数年未著者らが京都市鳥羽下水処理場の汚泥について実測したものである。今後この熱収支式に汚泥の可燃分、灰分、水分および発熱量の季節的な変動項と乾燥速度および燃焼速度などの速度論的な項を考慮して、汚泥焼却プロセスの安定性の追求と最適化の方向へ進展していくと思う。

